

Ficha de Trabalho 2: Métodos de Pesquisa

- Resolução -

Objetivo: Pretende-se promover a aquisição de conhecimentos e desenvolvimento de competências relativas aos seguintes algoritmos: subida da colina (Hill Climbing) e Simulated Annealing.

- 1) Explique o princípio de funcionamento do algoritmo da subida da colina (maximização). Apresente o pseudo-código para este algoritmo. (T)

R: Ver diapositivos ou notas da UC

- 2) Considere a função unidimensional (1) ilustrada na figura seguinte para o intervalo especificado:

$$f_1(x) = 4(\sin(5\pi x + 0.5))^6 \exp(\log_2((x-0.8)^2)) \quad 0 \leq x \leq 1.6 \quad (1)$$

Como se pode visualizar na figura seguinte esta função tem vários máximos locais e um máximo global.

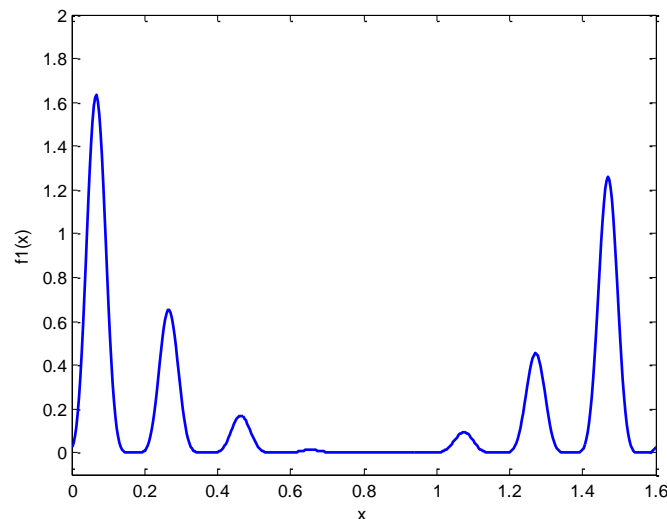


Figura 1: Espaço de pesquisa unidimensional definido pela função (1).

- i) Identifique os máximos (global e locais) desta função. (T)
- ii) Determine os máximos (global e locais) desta função. (P)

R: Para além dos que é possível identificar visualmente na Figura há mais alguns máximos de pequena amplitude:

$x = [0.067, 0.266, 0.462, 0.654, 0.791, 0.891, 1.075, 1.271, 1.471]$

$f(x) = [1.632, 0.652, 0.170, 0.013, 0.0000000095, 0.0027, 0.09318, 0.453, 1.257]$

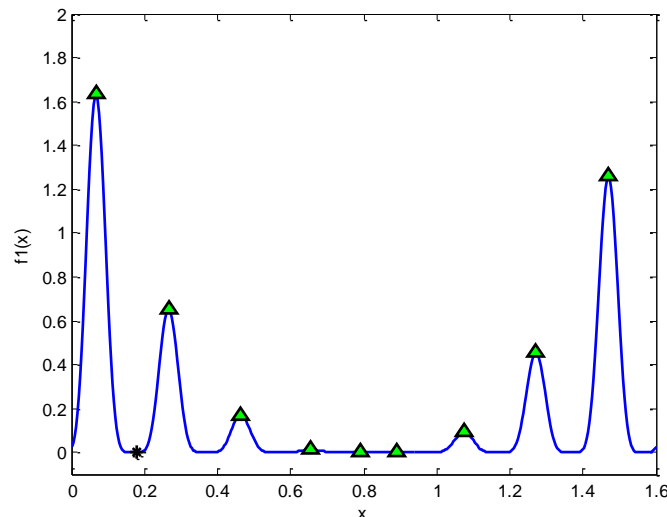
- iii) Replique a Figura 1 representando os máximos da função. (P)

R: Apresenta-se de seguida o código em Matlab:

```
format long
set(0,'defaultlinelength',2);
set(0,'defaultlinemarkersize',8);
%-----
% Exercício 2
%-----
% iii) Replicar a imagem
figure
% Function f1: Maximization
```

```
h=ezplot('4*(sin(5*pi*x+0.5)^6)*exp(log2((x-0.8)^2))',[0,1.6]);
axis([0,1.6,-0.1,2]); % Delimitar os eixos
ylabel('f1(x)')
title('');
% iii) Agora com os máximos sobrepostos
figure
h=ezplot('4*(sin(5*pi*x+0.5)^6)*exp(log2((x-0.8)^2))',[0,1.6]);
axis([0,1.6,-0.1,2]); % Delimitar os eixos
ylabel('f1(x)')
title('');
x_p = get(h,'XData');
y_p = get(h,'YData');
hold on % Congela o gráfico
% pks- valor dos picos ( máximo global e local )
[pks,locs] = findpeaks(y_p);
x_pks = x_p(locs)
f_pks = y_p(locs)
plot(x_pks,f_pks,'k^','markerfacecolor','g')
```

que permite detetar os máximos da função e a sua representação gráfica que se apresenta na Figura seguinte:



- iv) Considere a solução inicial $x=0.180$. Represente o ponto correspondente no gráfico (**T-P**).

R: A representação já está feita na figura anterior (*). Continuação do programa anterior:

```
% iv)
% Ponto inicial fixo
x_current=0.18;
F_current=4*(sin(5*pi*x_current+0.5)^6)*exp(log2((x_current-0.8)^2))
plot(x_current,F_current,'k*')
hold off
```

- v) Considere que o algoritmo pode testar pontos aleatórios gerados numa vizinhança com um raio 1/100 da amplitude do intervalo de pesquisa. Quais os limites inferior e superior do intervalo de pesquisa inicial? (**T**)

R: Os cálculos podem também ser feitos num programa:

```
% Raio da vizinhança
limits=[0,1.6]; % Limites da pesquisa
range=limits(2)-limits(1);
x_radius=range/100;
x_inf_init=x_current-x_radius
x_sup_init=x_current+x_radius
```

$x_inf_init=0.1640$; $x_sup_init=0.1960$

- 3) Considere o exemplo apresentado na Tabela 1, para um problema de maximização, na qual It representa o número da iteração e x_{new} uma potencial solução para o problema. As potenciais soluções estão representadas na Figura 2.

| It | 0 | 1 | 2 | 3 | 4 | 5 | 6 | 7 | 8 | 9 | 10 |
|--------------|-------|--------|--------|--------|--------|--------|--------|--------|--------|--------|--------|
| x | 0.180 | 0.210 | 0.220 | 0.230 | 0.240 | 0.250 | 0.260 | 0.260 | 0.260 | 0.260 | 0.260 |
| $f(x)$ | 0.000 | 0.0453 | 0.1228 | 0.2502 | 0.4089 | 0.5563 | 0.6433 | 0.6433 | 0.6433 | 0.6433 | 0.6433 |
| x_{new} | | 0.210 | 0.220 | 0.230 | 0.240 | 0.250 | 0.260 | 0.2850 | 0.2450 | 0.120 | 0.110 |
| $f(x_{new})$ | | 0.0453 | 0.1228 | 0.2502 | 0.4089 | 0.5563 | 0.6433 | 0.4768 | 0.4872 | 0.1358 | 0.3378 |

Tabela 1: Exemplo de potenciais pontos para a subida da colina.

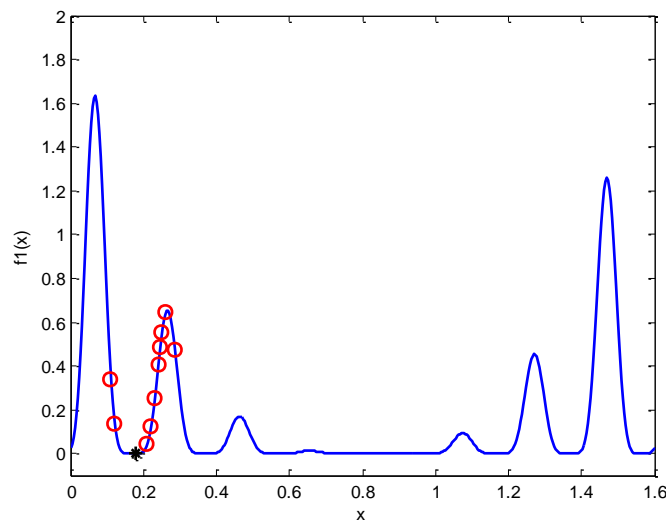


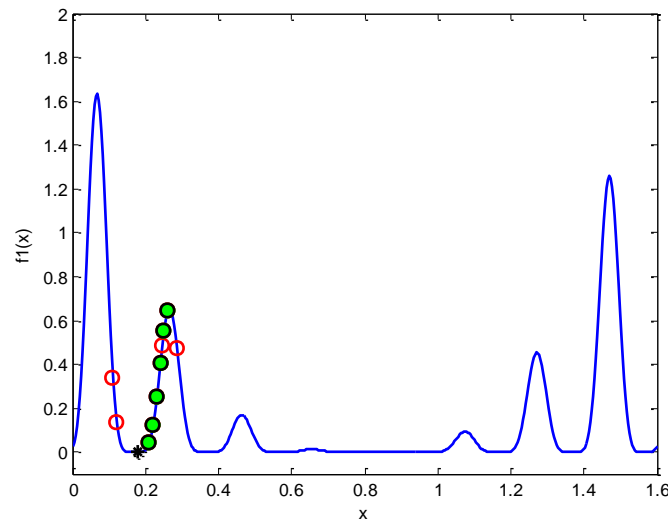
Figura 2: Representação de 10 potenciais soluções apresentadas nas Tabelas 1-3.

- i) Aplicando o critério de decisão do algoritmo da subida da colina complete os espaços em branco das variáveis x e $f(x)$. (**T**)

R: Basta comparar o valor da imagem, $f(x_{new})$, com o valor da solução atual, $f(x)$. Nos casos em que seja maior atualiza-se a solução atual com o nova, bem como a imagem respetiva. Ver Tabela 1 completa.

- ii) Confirme os valores apresentados para $f(x)$ e represente os pontos correspondentes a melhoria da função na figura. (**T-P**)

R: A representação das soluções aceites como melhorias estão representadas na figura seguinte preenchidas a verde. Notar as tentativas finais que não são aceites. Estão representadas no gráfico a vermelho com fundo branco.



```

%-----
% Exercício 3
% Hill-Climbing
%-----
x_trials=[0.21 0.22 0.23 0.24 0.25 0.26 0.285 0.245 0.12 0.11]
for j=1:size(x_trials,2)
    F_trials(j)=4*(sin(5*pi*x_trials(j)+0.5)^6)*exp(log2((x_trials(j)-
    0.8)^2));
end
F_trials

%Plot de todas as soluções potenciais
figure
h=ezplot('4*(sin(5*pi*x+0.5)^6)*exp(log2((x-0.8)^2))',[0,1.6]);
hold on
axis([0,1.6,-0.1,2]); % Delimitar os eixos
ylabel('f1(x)')
title('');
plot(x_current,F_current,'k*')
plot(x_trials,F_trials,'or');
hold off

%Plot de todas as soluções hill-climbing
figure
h=ezplot('4*(sin(5*pi*x+0.5)^6)*exp(log2((x-0.8)^2))',[0,1.6]);
hold on
axis([0,1.6,-0.1,2]); % Delimitar os eixos
ylabel('f1(x)')
title('');
plot(x_current,F_current,'k*')
plot(x_trials,F_trials,'or');

it=10;
x_hc(1)=x_current;
F_hc(1)=F_current;
x_hc(2:it)=0;
F_hc(2:it)=0;
% Hill-climbing
for j=1:it,
    if F_trials(j) > F_current
        x_current = x_trials(j);
        F_current = F_trials(j);
        x_hc(j) = x_trials(j);
        F_hc(j) = F_trials(j);
        plot(x_hc(j),F_hc(j),'ko','markerfacecolor','g')
    else

```

```
x_hc(j) = x_current;
F_hc(j) = F_current;
end
end
hold off
```

- iii) Na eventualidade da pesquisa estar presa num máximo local, que estratégia utilizaria para explorar outras regiões do espaço (*T*)

R: Porque não reinicializar a pesquisa noutra ponto ao fim de um determinado número de iterações?

- 4) Explique o princípio de funcionamento do algoritmo *Simulated Annealing* (SA) (maximização). Apresente o pseudo-código para este algoritmo. (*T*)

R: Ver diapositivos ou notas da UC

- 5) Considere que utiliza o algoritmo SA para o mesmo problema apresentado na alínea 3).

- i) Sabendo que os perfis utilizados para a probabilidade (*p*) e temperatura (*T*) são os apresentados na Figura 2, explique qual a relação entre as duas variáveis. (*T*)

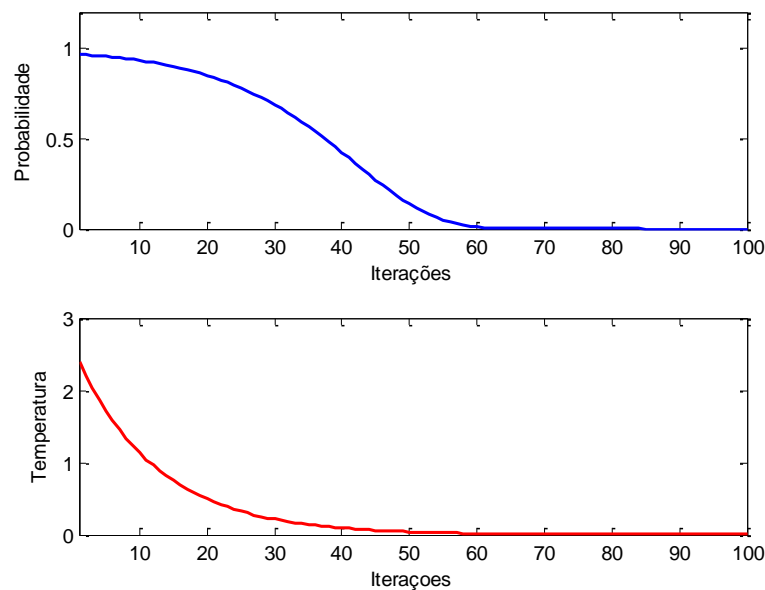


Figura 2: Perfis da probabilidade e temperatura.

R: Com a diminuição do valor da temperatura o valor da probabilidade neste caso diminui também.

- ii) Qual é relação entre o decaimento do valor da probabilidade e a diminuição do grau de aleatoriedade do SA? (*T*)

R: No início da pesquisa a probabilidade de aceitar uma solução pior é muito elevada, obtendo-se um elevado grau de aleatoriedade. No fim da pesquisa a probabilidade de aceitar uma solução pior é muito baixa (ou mesmo nula), obtendo-se um baixo grau de aleatoriedade.

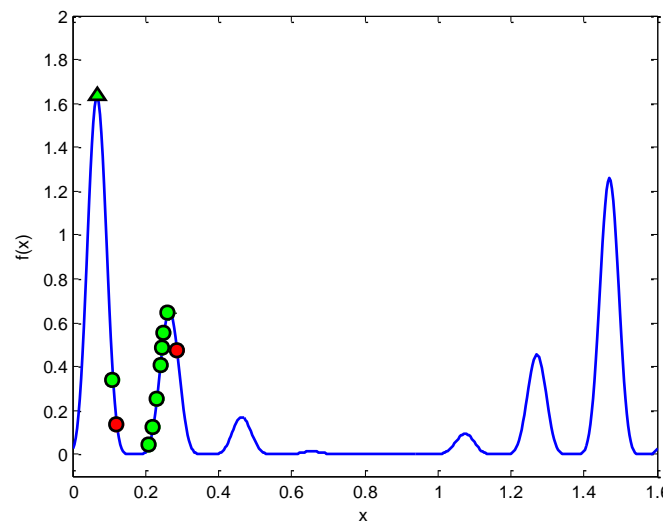
- iii) Represente a condição associada ao critério de decisão a utilizar quando a solução de teste piorar o valor atual da solução? (*T*)

R: Neste caso é: $rand < p$

- iv) Considere o exemplo apresentado na Tabela 2, na qual p representa o valor da probabilidade e $rand$ um valor aleatório gerado no intervalo $[0,1]$. Aplicando o critério de decisão do algoritmo do SA complete os espaços em branco na linha das variáveis x e $f(x)$. (*T*)

R: Ver na tabela.

- iv) Represente os pontos aceites na figura. (*T-P*)



- v) Sabendo que a expressão utilizada no arrefecimento da temperatura é representada por: $T = \alpha T$, com base nos valores apresentados na Tabela 2 determine o valor de α .

| It | 0 | 1 | 2 | 3 | 4 | 5 | 6 | 7 | 8 | 9 | 10 |
|--------------|-------|--------|--------|--------|--------|--------|--------|--------|--------|--------|--------|
| x | 0.180 | 0.210 | 0.220 | 0.230 | 0.240 | 0.250 | 0.260 | 0.2850 | 0.2450 | 0.120 | 0.110 |
| $f(x)$ | 0.000 | 0.0453 | 0.1228 | 0.2502 | 0.4089 | 0.5563 | 0.6433 | 0.4768 | 0.4872 | 0.1358 | 0.3378 |
| x_{new} | | 0.210 | 0.220 | 0.230 | 0.240 | 0.250 | 0.260 | 0.2850 | 0.2450 | 0.120 | 0.110 |
| $f(x_{new})$ | | 0.0453 | 0.1228 | 0.2502 | 0.4089 | 0.5563 | 0.6433 | 0.4768 | 0.4872 | 0.1358 | 0.3378 |
| T | | 2.4000 | 2.2080 | 2.0314 | 1.8689 | 1.7193 | 1.5818 | 1.4553 | 1.3388 | 1.2317 | 1.1332 |
| p | | | | | | | | 0.8919 | | 0.753 | |
| $rand$ | | | | | | | | 0.601 | | 0.124 | |

Tabela 2: Exemplo de potenciais pontos para o *Simulated Annealing*: caso I.

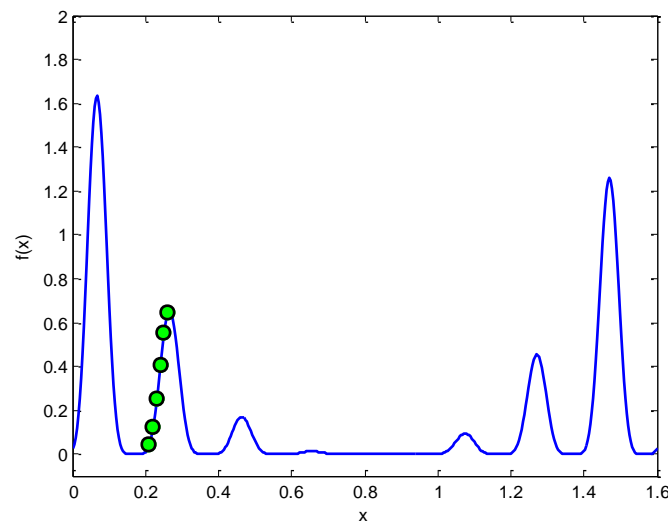
- vi) Considere o exemplo apresentado na Tabela 3, que transpõe o hipotético caso apresentado na Tabela 3, para as últimas 10 iterações (num total de 100). Aplicando o critério de decisão do algoritmo do SA complete os espaços em branco na linha das variáveis x e $f(x)$ (*T*)

R: Ver na tabela.

- vii) Compare os resultados obtidos na alínea iv) com os da alínea vi). (*T*)

R: Verifica-se que se este caso estivesse acontecido no final da pesquisa esta não escaparia do máximo local..

- viii) Represente os pontos aceites na figura. (*T-P*)



| It | 90 | 91 | 92 | 93 | 94 | 95 | 96 | 97 | 98 | 99 | 100 |
|--------------|-------|--------|--------|--------|--------|--------|--------|--------|--------|---------|---------|
| x | 0.180 | 0.210 | 0.220 | 0.230 | 0.240 | 0.250 | 0.260 | 0.260 | 0.260 | 0.260 | 0.260 |
| $f(x)$ | 0.000 | 0.0453 | 0.1228 | 0.2502 | 0.4089 | 0.5563 | 0.6433 | 0.6433 | 0.6433 | 0.6433 | 0.6433 |
| x_{new} | | 0.210 | 0.220 | 0.230 | 0.240 | 0.250 | 0.260 | 0.2850 | 0.2450 | 0.120 | 0.110 |
| $f(x_{new})$ | | 0.0453 | 0.1228 | 0.2502 | 0.4089 | 0.5563 | 0.6433 | 0.4768 | 0.4872 | 0.1358 | 0.3378 |
| T | | 0.0014 | 0.0013 | 0.0012 | 0.0011 | 0.0010 | 0.0009 | 0.0008 | 0.0007 | 0.00067 | 0.00063 |
| p | | | | | | | | 0.0000 | 0.0000 | 0.00000 | 0.00000 |
| $rand$ | | | | | | | | 0.844 | 0.7882 | 0.0370 | 0.8371 |

Tabela 3: Exemplo de potenciais pontos para o *Simulated Annealing*: caso II.

Referências:

P. B. de Moura Oliveira, E. J. Solteiro Pires e Paulo Novais, (2016), “Revisiting the Simulated Annealing Algorithm from a Teaching Perspective”, M. Graña et al. (eds.), International Joint Conference SOCO’16-CISIS’16-ICEUTE’16, Advances in Intelligent Systems and Computing 527, DOI 10.1007/978-3-319-47364-2_70